



BAKİ UNIVERSİTETİNİN XƏBƏRLƏRİ

ВЕСТНИК

БАКИНСКОГО УНИВЕРСИТЕТА

NEWS

OF BAKU UNIVERSITY

ISSN 1609-0586

ТƏVİƏT
elmləri seriyası
серия
ECTESTVENNYIX NAUK

series of
NATURAL SCIENCES

2

2011

GEOLOGİYA

УДК 551.21:552.24(55)

**О КАЙНОЗОЙСКИХ ТЕКТОНОМАГМАТИЧЕСКИХ И
МИНЕРАГЕНИЧЕСКИХ ПРОЦЕССАХ НА ЗАПАДЕ
БЕЛУДЖИСТАНА (БЛИЖНИЙ ВОСТОК)**

А.Е.РОМАНЬКО*, Н.А.ИМАМВЕРДИЕВ,
АЛИ МУНТЕЗЕРИ ГЕЛСЕФИД****

* *Геологический Институт АН России,*
** *Бакинский Государственный Университет*
a-romanko@ya.ru

В статье приводятся новые данные по магматическим породам запада Белуджистана (Ближний Восток). Выделено два типа принципиально различных кайнозойских магматических пород известково-щелочные, а также субщелочные и щелочные. Первые, известково-щелочные отвечают субдукционной геодинамической обстановке, а вторые – внутримагматической обстановке. Известково-щелочные магматиты характеризуются общим медно-золотым металлогеническим профилем с разнообразными частными типами минерализации. Внутримагматические породы имеют специализацию на фосфор и, вероятно, РЗЭ.

Ключевые слова: Белуджистан, Ближний Восток, кайнозойские магматические породы.

Минерагенические и тектономагматические процессы слабо изученного из-за политической нестабильности запада Белуджистана на территории Ирана, Ближний Восток, в районе эффектного сочленения собственно альпийских и гималайских структур [1-3, 5, 7-12, рис.1.], изучались группой под руководством известнейшего специалиста по металлогении Ирана Е.Ф.Романько (МПР РФ), а также А.Хушманзаде и М.А.А.Ноголь Садата (Институт наук о Земле, Тегеран, Иран).

В статье приводятся новые данные по магматическим породам двух групп: преобладающим в регионе кайнозойским известково-щелочным вулканогенным породам (**первая** группа), а также принципиально другим – подчиненным, также кайнозойским субщелочным и, реже - щелочным породам (**вторая** группа).

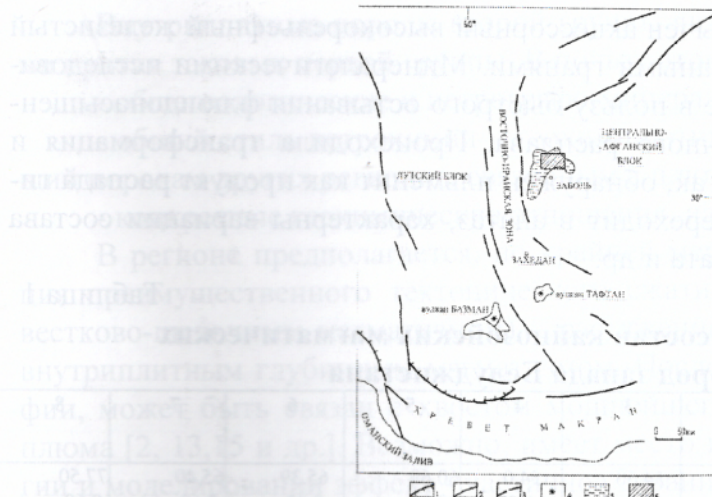


Рис.1. Тектоническая схема региона. Разрывные нарушения (1-3): 1- с надвиговой компонентой; 2- достоверные; 3- предполагаемые; 4- кайнозойские магматические структуры с вулканами центрального типа; 5- дно впадины в пустыне (плейя); 6- район дополнительных работ.

Петрографически породы второй группы отличаются от таковых первой группы наличием чаще афировой структуры против порфировой у первых, сильной миндаленасыщенностью, характерными высокотитановыми фазами (что свойственно продуктам внутриплитного магматизма, вообще [13]), магнезиальным ортопироксеном - бронзитом, отсутствующим в известково-щелочных вулканитах (в которых из цветных минералов типичен амфибол), повышенной измененностью пород и т.д. Петрография и петрогохимия изучаемых продуктов (табл.1), в целом, не противоречат эталонам соответствующих геодинамических обстановок [4,13-16]. В измененных разновидностях всех изучаемых пород миндалины выполнены кальцитом, гематитом, цеолитами и глинистыми минералами. Основная масса пород микролитовая.

Выделены две подгруппы субщелочных пород (вторая группа пород) по глубинности. Для геологически, геохимически и петрографически относительно более глубинных разновидностей (серия образцов R71, пересыпающее оз. Хаджи) характерен плагиоклаз с большей основностью, до лабрадора. В основной массе - призмы клинопироксена (предположительно авгита) и рутила, кристаллы бурой титанистой роговой обманки, зерна и листы альбит-олигоклаза, а также зерна клиноцизита и кристаллики пумпеллиита. К менее глубинным разновидностям субщелочных пород (серия образцов R70 внутри пустыни, приблизительно в 50 км к северу от г. Заболь, привязка затруднена) относятся трахиандезиты и трахиандезибазальты со стекловатым базисом, а также шлакоподобные продукты. В них в ассоциации с клинопироксеном отмечена также призматическая бурая титанистая роговая обманка и иголки рутила. Мезостазис представлен вулканическим стеклом с газовыми пузырьками и маг-

нетитовой пылью. Необычен акцессорный высокорельефный железистый (?) гранат с корродированными гранями. Минералогическими исследованиями получены данные в пользу быстрого остывания флюидонасыщенного щелочно-субщелочного расплава. Происходила трансформация и распад некоторых фаз. Так, обнаружен ильменит как продукт распада титаномагнетита, рутил переходит в анатаз, характерны вариации состава щелочного полевого шпата и др.

Таблица 1

Химический состав кайнозойских магматических пород запада Белуджистана

Компонент	1	2	3	4	5	6	7	8
SiO ₂	48.17	57.80	54.50	54.0	60.69	65.39	65.40	77.50
TiO ₂	2.20	1.31	1.87	1.52	0.36	0.42	0.60	0.60
Al ₂ O ₃	13.80	17.48	15.94	-	15.32	13.71	15.47	13.00
Fe ₂ O ₃	9.32	4.37	6.39	6.25	2.70	3.25	4.09	3.21
FeO	2.56	1.07	0.40	-	2.07	-	-	1.10
MnO	0.14	0.09	0.09	0.08	0.09	0.057	0.09	0.02
MgO	5.75	2.27	3.37	-	3.65	1.39	1.50	0.52
CaO	8.98	7.10	7.58	7.40	3.90	2.08	2.80	0.29
Na ₂ O	4.93	5.11	5.81	-	3.64	2.87	4.70	0.28
K ₂ O	1.31	1.42	1.73	1.09	4.38	4.51	4.45	0.21
P ₂ O ₅	0.23	0.61	1.05	-	0.31	0.11	0.22	0.09
Rb	29	19	20	15	145	117	140	4
Ba	375	293	-	292	1230	577	1650	390
Sr	1185	912	4470	950	870	232	380	440
Ni	87	53	58	59	50	7	13	10
Co	33	14	-	-	12	5	6	4
Cr	64	60	38	64	50	16	18	11
V	220	95	-	-	81	63	54	55
Cu	63	65	64	77	69	15	11	8
Zn	113	88	113	98	32	40	57	20
Pb	5	20	51	5	20	27	22	12.7
Zr	279	232	339	217	96	158	246	13
Y	25	19.5	25	15	15	11	29	6
Nb	23	17	19	-	5.8	8	12.	6.5
Sc	19	10.7	-	26.2	10	-	-	17
Th	3	3.65	-	4.84	12	-	-	1
U	1.2	0.99	-	1.31	1	-	-	3
La	44	32.4	-	30	18	-	46	15
Ce	101	68.3	-	63	32	-	72	28
Nd	-	31.4	-	-	-	-	38	-
Sm	-	6.00	-	-	-	-	7.6	-
Eu	-	2.11	-	-	-	-	1.7	-
Gd	-	5.08	-	-	-	-	4.5	-
Tb	-	0.78	-	-	-	-	2.2	-
Er	-	1.64	-	-	-	-	2.0	-
Yb	-	1.26	-	-	-	-	2.0	-
K/Rb		-	-	-	-	-	260	410

Примечание. 1 и 2 - трахибазальт (обр. 71-4) и трахиандезит (обр. 70-2), район оз. Хаджи, севернее г. Заболь, неоген?, Афганский блок, 3 – трахиандезибазальт, Белуджистан, В. Иран, Camp, Griffis, 1982 [8], 4 – трахиандезибазальт, обр. 75wp, Лутский блок; 5 – сиенит, Массив Лар с Cu-Au минерализацией, миоцен? 6 – калиевый дацит, обр. 75, Лутский блок и 7 – трахидиацит, Кураминский хребет Срединного Тянь-Шаня, C3-P1, Маджанов, 2005, для сравнения, 8 – лейкориолит, обр. 82, вулкан Базман.

Внутриплитные породы второй группы являются более глубинными против таковых первой группы. В пользу этого говорят следующее:

- общегеологические и петрографо-минералогические данные;
- общий стиль петрохимии и геохимии этих пород, не противоречащий породам других регионов, связанным с пломовым магматизмом;
- конкретные геохимические отношения, например, K/Rb.

В регионе предполагается, по крайней мере, частичная компенсация преимущественного тектонического сжатия (с индикаторным известково-щелочным магматизмом) – растяжением с соответствующим внутриплитным глубинным магматизмом. Последний, судя по томографии, может быть связан с хвостом мощнейшего Африканского суперплюма [2, 13, 15 и др.]. Возможно, имеет место и обсуждаемый в геологии и моделировании эффект - частичное экранирование пломов пододвигаемой плитой, что не является препятствием - известно, что эта пододвигаемая плита не останавливает движение хвоста суперплюма по латерали, как, возможно, в нашем случае.

Породы первой группы (дифференцированные известково-щелочные породы: базальты – преобладающие в регионе андезиты - риолиты, гранодиориты и т.д.), как считается, – продукты крупного пододвигания литосферы Тетиса на северо-восток под структуры Ирана, что подтверждается, тектоническим анализом, аномальной новейшей сейсмоопасностью региона, томографией и т.д. [2, 3, 6, 10, 12]. Катастрофические землетрясения магнитудой до восьми и более баллов, по шкале Рихтера, к сожалению, здесь не так уж редки (недавний горький пример – район города Бам, Восточный Иран, 2003).

Формирование пород **второй** группы – субщелочных и подчиненных щелочных пород обусловлено, вероятно, деятельностью крупного плюма, ответственного за неоген-четвертичный внутриплитный магматизм региона, включая и карбонатитовый. Эти породы, в отличие от известково-щелочных, характеризуются обогащением как крупноионными лиофильными элементами – K, Rb, Ba, так и высокозарядными лиофильными элементами – Nb, Y, Ta, Zr, P, Ti и т.д. при характерном повышенным Eu/Eu* - выше 1.1.

Магматические породы обоих типов чаще калинатровые (табл.1, [13-16]). Концентрация высокозарядных элементов – Nb, Y, Zr, P (иногда более 1.0 % P₂O₅ - очень высокое значение) и других - как показателей внутриплитной специфики - выше в породах второго типа. Получены достаточно невысокие изотопные метки ⁸⁷Sr/⁸⁶Sr (ISr) по двум образцам пород второго типа - обр. трахиандезита 70-2 - 0,7039±0,2 (K/Rb=393) и обр. трахивазальта 71-4 - 0,70489±0,18 (K/Rb=375, определения в ГИН РАН, табл.2). Для известково-щелочного андезивазальта стратовулкана Базман, обр. 25-1 также определено довольно невысокое значение ISr = 0,70456±0,05 (табл. 2).

Изверженные породы этого вулкана относятся к породам полно дифференцированной серии и относятся к протяженному магматическому поясу Ирана - Саханд-Базман с одноименными стратовулканами в них: упомянутый Базман высотой 3490м (рис. 1) и Тафтан с уточненной высотой 3940м (прежняя его отметка-4042м). Это совпадает по данным (Camp, Griffis, 1982 [8]) для пород одного из безымянных вулканов изотопная отношения стронция составляет 0.7049.

Таблица 2

Изотопные стронциевые метки ($^{87}\text{Sr}/^{86}\text{Sr}$) изученных магматических пород

$^{87}\text{Sr}/^{86}\text{Sr}$	порода, минерал
1. $0,7039 \pm -0,2$	трахиандезит, обр. 70-2, безымянный вулкан
2. $0,70489 \pm -0,18$	трахигабазальт, обр. 71-4, район оз. Хаджи
3. $0,70456 \pm -0,05$	известково-щелочной андезибазальт, обр. 25-1, вулкан Базман
4. 0,7049	вулканит, возраст не известен
5. $0,7047 \pm -0,3$	биотит из трахигабазальта, обр. 64, Шураб – Галеча, эоцен
6. $0,7048 \pm -0,3$	дацит, обр. 166, эоцен
7. 0,7051	андезит, обр. 206, эоцен
8. 0,7055	биотит из андезита, обр. 203, Чеш-мех-Хури, эоцен
9. 0,7059	андезит, обр. 193-А, эоцен, возраст не известен
10. 0,7051	биотит из дацита, обр. 143, район Газу,
11. 0,7043	гранодиорит, обр. 146, район Газу,
12. 0,7045	гранодиорит, обр. 151, район Газу,
13. $0,7051 \pm -0,3$	биотит из гранодиорита, район Газу, кампан
14. $0,7048 \pm -0,3$	биотит из дацита, Шураб-Галеча, эоцен
16. $0,7056 \pm -2$	плагиоклаз из дацита, Шураб-Галеча, эоцен
17. $0,7065 \pm -3$	биотит из дацита, Кух-Берг, эоцен
18. $0,7070 \pm -3$	гранодиорит, Сор-Кух, средняя юра

Примечание. 1-3 – авторские данные. 4 – по [8]; 5-18 - центр Лутского блока, западнее изучаемой территории, по [16]. Точность значений - в четвертом знаке.

Металлогеническая специализация изверженных пород. Известково-щелочные интрузивные, эфузивные и пирокластические породы (первой группы) характеризуются общим медно-золотым профилем для данной металлогенической провинции. Подавляющая часть проявлений связана именно с магматизмом региона. Здесь нами выявлены [7], в частности, такие перспективные типы, как:

- полисульфидное (Au-Mo-Cu-Pb-Zn) порфировое субвулканическое;
- Au-As-Hg-W-Mo экскальационно-вулканогенное;
- золото-серебряное малосульфидное плутоногенное;
- золото-медное скарно-гидротермальное и плутоногенно-гидротермальное;

- сульфидно-серно-алунитовое экскалиационное, поверхностное;
- медное самородно-сульфидное вулканогенное, с цеолитами;
- серебряно-сульфидное вулканогенное (с золотом?).

Внутриплитные же породы имеют пока специализацию на фосфор и, вероятно, РЗЭ.

Устанавливается, в целом, тектономагматическая и, как установил Е.Ф. Романько - металлогеническая [3,4] зональность в регионе (как минимум, в Центральном – Восточном Иране) - с более молодыми структурами на северо-востоке, обусловленная региональным пододвиганием литосферы Неотетиса в этом направлении [2]. С упомянутым пододвиганием плиты связан как фронтальный доминирующий альпийский известково-щелочной магматизм, так и, косвенно, кайнозойский субщелочно-щелочной магматизм в тылу. Последний характеризуется неогеновыми и неоген-четвертичными субщелочными и, реже, щелочными породами на востоке Ирана, а именно: палеогеновыми (?) - Лутского блока (западнее), а также карбонатитами Афганистана (четвертичными) и Пакистана, предположительно близкими по возрасту. Более субщелочной внутриплитный магматизм вместе с доминирующим в регионе известково-щелочным (с учетом их тектонической позиции) могут интерпретироваться как тектономагматическая пара. В этом случае происходит, по крайней мере, частичная компенсация субдукционного сжатия – внутриплитным растяжением. Наличие же кайнозойских внутриплитных пород и восточнее, в соседнем Афганистане, свидетельствует в пользу плюма в регионе.

Выводы

- в исследуемом регионе выявляется северо-восточная тектономагматическая и, отчасти, металлогеническая зональность, обусловленная известным поддвигом Аравийской плиты под Евразийскую;

- выделено два типа принципиально различных кайнозойских магматических пород известково-щелочные, а также субщелочные и щелочные. Первые, известково-щелочные отвечают субдукционной геодинамической обстановке, а вторые – внутриплитной обстановке. Предполагается существование соответствующей тектономагматической пары. Изверженные породы второй группы генерируются глубже сравнительно с породами первой группы. Известково-щелочные магматиты характеризуются общим медно-золотым металлогеническим профилем с разнообразными частными типами минерализации. Внутриплитные породы имеют специализацию на фосфор и, вероятно, РЗЭ.

Авторы чрезвычайно благодарны Е.Ф. Романько (МПР РФ), а также А. Хушманзаде и М.А.А. Ноголь Садата (Институт наук о Земле, Тегеран) за руководство полевыми работами, а также А.Т.Савичеву, С.С.Степанову, Н.В.Горьковой, Г.В.Карповой, М.С.Буякайте, Б.П.Золо-

тареву, В.В. Петровой, И.Ф. Габлиной, В.В. Славинскому, С.А.Паланджяну, А.А.Щипанскому, А.В.Конилову, В.Л.Русинову, В.В.Ярмолюку, А.В.Гирнису, В.П.Прокофьеву, И.В.Викентьеву, А.Н.Перцеву А.В.Мохову, С.Н.Бубнову, М.В.Юдовской, А.М.Месхи (ВНИИгеолнеруд, Казань) и мн. др. за ценные консультации, аналитическую помощь и обсуждения при минералогических исследованиях.

ЛИТЕРАТУРА

1. Геология и полезные ископаемые Афганистана. Ред. Ш. Абдула, В.М.Чмырев. В.И.Дронов. М.:Недра. 1980. Кн.1. 535 с. Кн.2. 336 с.
2. Хайн В.Е. Тектоника континентов и океанов (год 2000). М.: Научный мир, 2001. 606 с.
3. Romanko, E., Kokorin, Y.U., Krivyakin et al. Outline of metallogeny of Anarak Area (Central Iran). Ministry of mines and metals. Geological survey of Iran Rep. № 21: V/O Technoexport. Tehran. 1984, 136 p.
4. Романко А.Е. Новые данные по кайнозойским субщелочным породам Восточного Ирана // ДАН 2005. т. 404. № 4, с. 510-513.
5. Samani B., Ashtari S.// Geosciences. GSI. 1992, v. 1 №4, p. 14-25.
6. Maggi A., Priestley K. Surface waveform tomography of the Turkish-Iranian plateau. Geophys. I. Int. 2005, 160, p. 1068-1080.
7. Exploration for Ore Deposits in Kerman Region. GSI Rep. R. Nedimovich, Ed. Beograd, Tehran. 1973, N XV/53. 234 p.
8. Camp V.E., Griffis R.J. // Lithos, 1982, №3. p. 221-239.
9. Hushmand-Zadeh A., Nabavi M.H. Metamorphic Map of Iran Scale 1: 2 500 000. Tehran: Geol.Surv.Iran., 1986.
10. Sandvol E. Turkell N. Zor E. etal. Shear wave splitting a young continent collision. Geophys. Res. Left. 2003, 30 №246 p. 185.-194.
11. Stocklin J., Eftekhar-Nezhad J. and Husmand-Zadeh A. Geology of the Shotori Range (Tabas Area, East Iran). Geol.Surv.Iran, Rep., 1965. №3. 69 p.
12. Walker R., Jackson J. Offset and evolution of the Gowk fault, S.E.Iran: a major intra-continental strike-slip system J. Struct. Geol. 24. 2002, p. 1677-1698.
13. Богатиков О.А., Коваленко В.И., Шарков Е.В. Магматизм, тектоника и геодинамика Земли. М.: Наука, 2010, 606 с.
14. Пущаровский Ю.М., Бортников Н.С., Сколовцев С.Г. и др. // ДАН. 2002, т. 384, № 1. с. 83-88.
15. Lustrino M., Sharkov E. Meogene volcanic activity of western Syria and its relationship with Arabian Plate tectonics. J.Geodynam. 2006, v.42, p. 115-139.
16. Tarkian M., Lotfi M., Baumann A. Tectonics, magmatism and formation of the mineral deposits in the Central Lut, East Iran // Geodynamic Project (Geotraverse) in Iran. Final report. 1983, №51, p. 357-383.

QƏRBİ BELUCİSTANIN (YAXIN ŞƏRQ) KAYNAZOY TEKTONOMAQMATİK VƏ MİNERAGENİK PROSESSLƏRİ HAQQINDA

A.E.ROMANKO, N.Ə.İMAMVERDİYEV, A.M.GELSEFİD

XÜLASƏ

Məqalədə qərbi Belucistanın (Yaxın Şərq) maqmatik süxurları haqqında yeni məlumatlara baxılır. Kaynozoy maqmatik süxurlar üçün prinsipial fərqlənən iki tip - əhəngli-qələvili və mülayim qələvili, qələvi ayrılmışdır. Birinci, əhəngli-qələvili subduksiya, ikinci isə

plitədaxili geodinamik şəraitə uyğun gəlir. Əhəngli-qələvili maqmatitlər müxtəlif tip minerallaşması olan ümumi mis-qızıl metallogenik ixtisaslaşma ilə səciyyələnir. Plitədaxili süxurlar isə fosfor və çox yəqin ki, NTE üçün ixtisaslaşa bilər.

Açar sözlər: Belucistan, Yaxın Şərq, kaynozoy, maqmatik süxurları.

ON TECTONIC-MAGMATIC AND METALLOGENIC EVENTS IN WESTERN BALUCHISTAN, MIDDLE EAST

A.E.ROMANKO, N.A.İMAMVERDİYEV, A.M.GELSEFİD

SUMMARY

The paper presents new data on magmatic rocks of western Baluchistan (Middle East). Two types of fundamentally different cenozoic igneous rocks of calc-alkaline, subalkaline and alkaline are defined. The first-calc-alkaline responds to subduction geodynamic environment, the second to intraplate setting. Calc-alkaline magmatites are characterized by a general copper-gold metallogenic profile with a variety of private types of mineralization. Intraplate rocks have a specialization for phosphorus and probably to REE.

Key words: Baluchistan, Middle East, cenozoic igneous rocks

Поступила в редакцию: 20.05.2011 г.

Подписано к печати: 27.07.2011 г.

GEOLOGY

Romanko A.E., Imamverdiyev N.A., Gelsefid A.M.	
On tectonic-magmatic and metallogenic events in western baluchistan, middle east	76
Shirinova A.F., Chyrakov M.I., Asgarov R.G., Jafarov S.E.	
Specification of the crystal structure of actinolite and crystal-chemical features of crystallisative differentiations of magma.....	84
Farzad Asadi Ali Gambar	
Mineralogical and geological features, and distribution of kaolin and bentonite clays of Pirkuh Deylamanskikh fields of Northern Iran	95
Ahmadova O.M.	
Formation and hydrochemical features of mineral waters of Greater Caucasus.....	105
A.E.Yousefi-Bavil	
Study of stress regimes in Takalti deformation zone	113
Ali Muntezeri Gelsefid	
Preliminary exploration of ore deposits in the vicinity of the river Sefidrud.....	126

GEOGRAPHY

Museyibov M.A.	
The formation of morphostructures of Asia-Minor Caucasian region	137
Imanov F.A., Guliyeva A.A., Rajabov R.F., Nuriyev A.A.	
Definition methods of exceedence probability of the flow characteristics for the designing of hydrotechnical structures	141
Gulihev R.Y.	
Surface relief angles and evaluation of ecogeomorphologic tension in the area of Nakhchivan Autonomous Republic	152
Mammadova Sh.I.	
Climate condition of Baku city and its role in the distribution of pollutants	159
Jarullayev A.Sh., Abasova N.A., Shamilzadeh T.M.	
Factors affecting steppes in Azerbaijan and methods of their melioration	168
Tahirova H.A.	
The influence of migrational processes to the regulation in demographic situation of the Autonomous Republic of Nakhchivan	173
Bahramali Khudayi	
The potential development of tourism in Zanjan region with usage of GIS	182